

土壤内硝化・脱窒による汚水の窒素除去

広島大学 正員 寺西 靖治
 " " ○山口 登志子
 西松建設 盛重 知也

1.はじめに 土壤内急速浸透処理法において、汚水中のNは主として硝化・脱窒素により除去される。筆者らの従来の研究により、不飽和浸透流における土壤内硝化、飽和浸透流における土壤内脱窒素はそれぞれ、比較的容易に進むことが明らかとなつた⁽¹⁾⁽²⁾。そこで、本研究では、これらの2つのプロセスを組み合わせてN除去を試みる。同一土壤カラム内に不飽和流域と飽和流域を作り、NH₄Cl溶液および有機炭素(メタノール、グルコース)を供給して、カラム内のN分布を経時的に測定し、Nの挙動について考察した。

2 実験方法

2-1 実験I 本研究ではまず実験Iで、脱窒素に必要な有機炭素(メタノール)が硝化に与える影響について調べた。用いた土壤カラムは塩化ビニルパイプ(長さ45cm、内径10cm)にマサ土を40cmまで充填したもので、深さ20cmに水位を作り、0~20cmを不飽和流域、20~40cmを飽和流域とした。この土壤カラムを3本作成し、番号をそれぞれ、S1, S2, S3とした。マサ土の充填量は20.0kg(乾土)、隙間率は39%である。実験条件を表1に示す。供給液はNH₄Cl溶液(20mgN/l)に、NaHCO₃, KH₂PO₄を添加したもので、カラムS1~S3についてメタノールをC/Nとして、1.0, 1.5, 2.0となるよう加えた。S1はひき続きRun2としてメタノール無添加で行った。各N成分分布を測定し、Nの挙動について調べた。温度は30°Cである。

2-2. 実験II 本実験は図1に示すような土壤カラムを用いて、実験Iとほぼ同様の条件で行つた。土壤カラムを2本作り(L1, L2), 最初Run1として有機炭素無添加でNH₄Cl溶液を供給し、土壤内硝化過程が定常に達したのち、メタノールおよびグルコースをそれぞれL1, L2に供給した(Run2)。メタノールの供給は、実験Iの結果をふまえて、深さ20cmの地表から直接飽和流域内にポンプで注入した。グルコースは供給液に添加した。実験条件を表2に示す。マサ土の充填量はL1, L2でそれぞれ26.4, 25.8kg、隙間率は36, 38%である。

実験Iと同様、各深度の試料溶液および流出水のNH₄-N, NO₃-N, NO₂-Nを経時的に測定した。その他、土壤内のガス組成、土の硝化・脱窒活性、硝化菌、脱窒素菌分布、土のTNなどについても測定した。温度は30°Cである。なおRun2のL1へのメタノールの供給は200mg/lのメタノール溶液を流量20ml/hrで注入し、飽和流域内C/Nがほぼ1.0となるようにした。

3. 結果と考察

3-1 実験I NH₄Cl溶液にメタノールを添加して供給すると、土壤内硝化は阻害をうける。カラムS1のRun1, Run2におけるカラム内N成

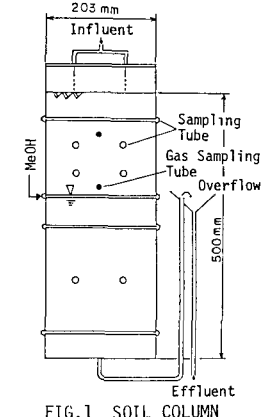


FIG.1 SOIL COLUMN

TABLE 1 DATA OF EXPERIMENT(I)

Column	NH ₄ -N applied rate (mg/l)	Application rate (mm/day)	MeOH applied(C/N)	
			Run1	Run2
S1			1.0	0
S2	20	140	1.5	—
S3			2.0	—

Run1=61 days, Run2=21 days

TABLE 2 DATA OF EXPERIMENT(II)

Column	Run1		Run2	
	Application rate(mm/day)	Organic carbon	Application rate(mm/day)	Organic carbon
L1	200	0	220	MeOH C/N=1.0
L2	190	0	200	Glucose C/N=1.5

Run1=51 days, Run2=25 days, NH₄-N applied=20 mg/l

分分布を図2に示す。Run 1で供給液にメタノールを添加(20 mg C/l)すると、 $\text{NO}_3\text{-N}$ 生成は C/C_s (供給液のN濃度に対する実測N濃度の比)で0.4程度である。S2(30 mg C/l), S3(40 mg C/l)でもほぼ同様の結果を得た。Run 2でメタノールの添加を中止すると、図2に示す通り、 $\text{NO}_3\text{-N}$ 生成量が増加して約10 cm以内で硝化は100%進行した。

3-2. 実験Ⅱ 実験Ⅰの結果から、メタノールにより硝化が阻害されることがわかったので、実験Ⅱでは、まずRun 1でメタノール無添加で実験を行い、硝化が定常に達した後、Run 2としてメタノールおよびグルコースを供給した。カラムL2のN分布を図3に示す。L2では表2に示したように、Run 2でグルコースを供給液に添加した(30 mg C/l)。図3から、Run 1では硝化は10 cm以内で完了しているが、Run 2では硝化が阻害され、 $C/C_s = 0.2 \sim 0.3$ 程度であることがわかる。飽和流域内で脱窒素もほとんど起こっていない。これは供給液中のグルコースが土中の微生物に消費され、飽和流域まで達しなかつたためと思われる(TOCの分析結果から)。L1ではL2と同様、Run 1で有機物無添加、Run 2でメタノールを供給した。実験Ⅰの結果をふまえ、メタノールは2-2で述べたように深さ20 cmの地点から飽和流域に直接注入した。結果を図4に示す。Run 1ではL2と同様、硝化は約5~10 cmで完了した。Run 2では明らかに15 cm以下で $\text{NO}_3\text{-N}$ の減少がみられる。不飽和流域で脱窒素が生じているのは、メタノールの毛管上昇によるものと考えられる。

Run 2の流出水におけるN除去率は65~95%であった。

ここで、カラムL1の $\text{NO}_3\text{-N}$ 実測濃度分布から、反応物分散方程式の逆問題として、反応項(硝化・脱窒速度)の時空分布を求めてみる。 $\text{NO}_3\text{-N}$ の実測データを△ $x = 5\text{ cm}$, $\Delta t = 2\text{ 日}$ としてスプロットし、差分化して反応物分散方程式から硝化・脱窒速度を計算した。Run 2における深さ方向の分布を図5に示す。ここで、脱窒速度とは、正確には $\text{NO}_3\text{-N}$ 消費速度であり、図では負の値となっている。図5より、硝化は主に5~10 cmで進み、脱窒素は15~35 cmで進んでいることがわかる。

4.まとめ

本研究の実験条件下でえられた結果は次の通りである。
①硝化は5~10 cmで完了し、メタノール添加により、脱窒素は15~35 cmで進む。
②脱窒素によるN除去率は65~95%であった。
③硝化速度は0~300 mg/day、脱窒速度は0~100 mg/dayであった。
④メタノールおよびグルコースは、硝化を阻害する。
1)山口、寺西，“飽和流における土壤カラム内脱窒素”，下水道協会誌、22(249) p. 55~59 (1985)
2)山口、寺西，“土壤内硝化速度の時空分布”，衛生工学研究論文集、22 p. 1~6 (1986)

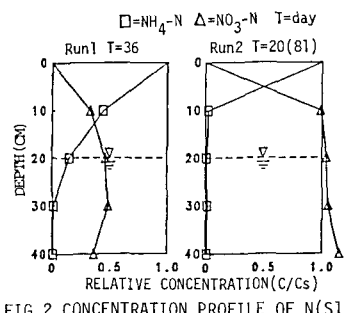


FIG.2 CONCENTRATION PROFILE OF N(S1)

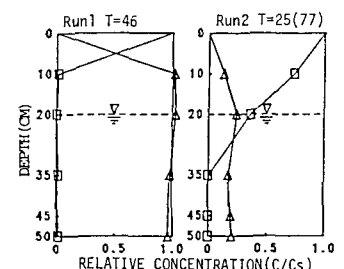


FIG.3 CONCENTRATION PROFILE OF N(L2)

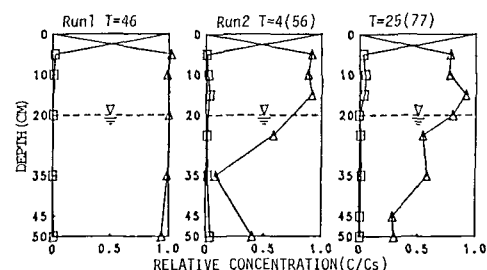


FIG.4 CONCENTRATION PROFILE OF N(L1)

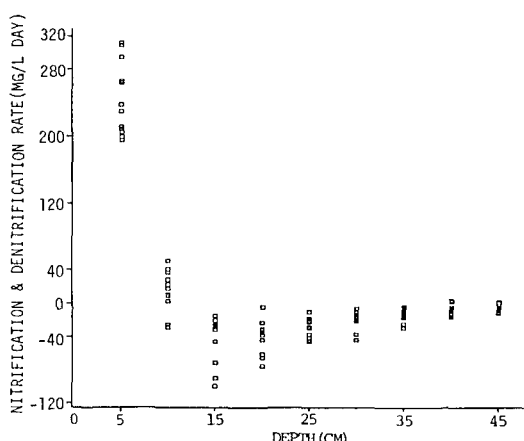


FIG.5 DISTRIBUTION OF NITRIFICATION & DENITRIFICATION RATE IN SOIL